

¿Puede la entropía de cuencas ser un indicador de una bifurcación en sistemas con retardo temporal?

Juan P. Tarigo, Cecilia Stari, Cristina Masoller & Arturo C. Martí



UNIVERSIDAD
DE LA REPÚBLICA
URUGUAY

cap

COMISIÓN
ACADEMICA
DE POSGRADO



Índice

¿Qué es la entropía de cuencas?

Sistemas con retardo temporal

El doble pozo con retardo

Resultados

Conclusiones y perspectivas a futuro

¿Qué es la entropía de cuencas?

- La entropía de cuencas fue introducida por Daza et. al. (2016) como una herramienta para cuantificar la predictibilidad del estado final de un sistema no-lineal debido a diferentes condiciones iniciales
- Es una medida de la incertidumbre de un sistema obtenida a partir de la probabilidad de evolucionar a un atractor partiendo de una región del espacio de fase
- Recientemente fue utilizada para estudiar distintos tipos de bifurcaciones en sistemas no-lineales encontrando que la entropía de cuencas presenta cambios significativos ante la presencia de algunas bifurcaciones

Article | [Open access](#) | Published: 12 August 2016

Basin entropy: a new tool to analyze uncertainty in dynamical systems

[Alvar Daza](#), [Alexandre Wagemakers](#), [Bertrand Georgeot](#), [David Guéry-Odelin](#) & [Miguel A. F. Sanjuán](#)

[Scientific Reports](#) **6**, Article number: 31416 (2016) | [Cite this article](#)



Chaos, Solitons & Fractals
Volume 175, Part 1, October 2023, 113963



Using the basin entropy to explore bifurcations

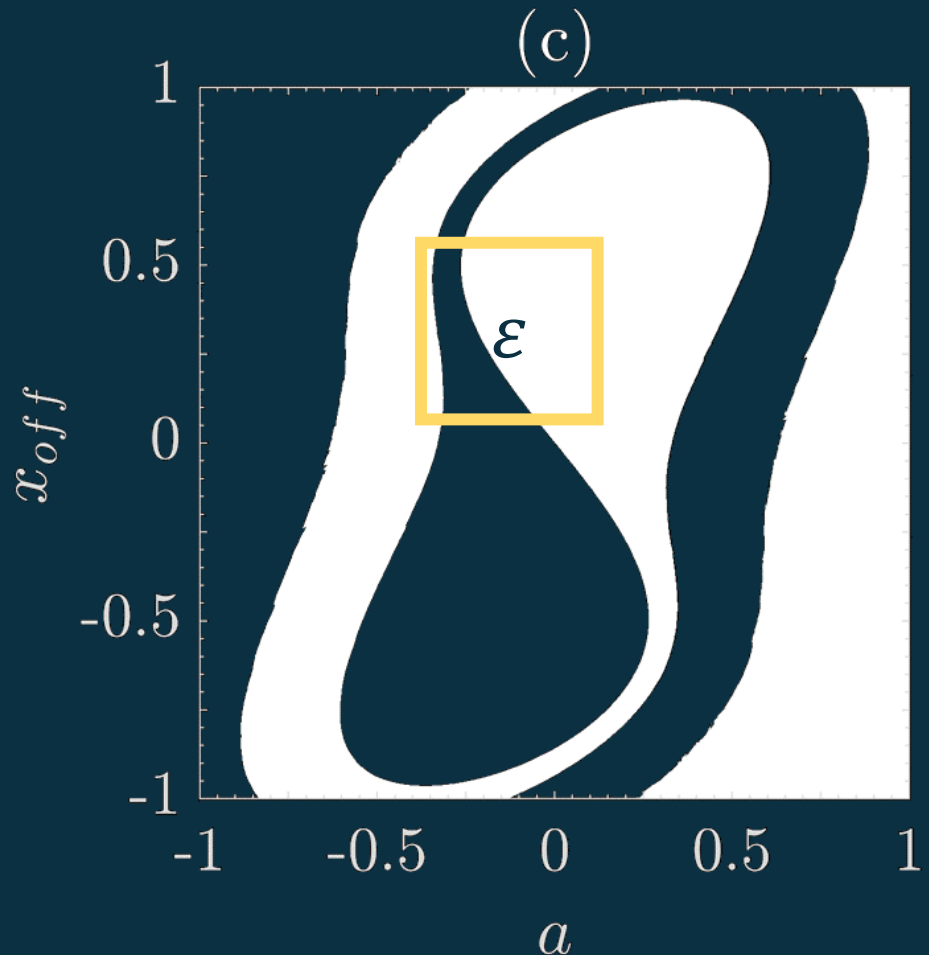
Alexandre Wagemakers ^a  , Alvar Daza ^{a b}, Miguel A.F. Sanjuán ^a

$$S_b = -\frac{1}{N} \sum_{i=1}^N \sum_{j=1}^{N_A} p_{ij} \log p_{ij}$$

- N es el **número de cajas** para calcular S_b
- N_A es el **número de atractores** en la caja i
- p_{ij} es la **cantidad de trayectorias** en la caja i que van al atractor j

$$S_b = \sum_{k=1}^{k_{max}} \frac{n_k}{\tilde{n}} \varepsilon^{\alpha_k} \log(m_k)$$

- $\frac{n_k}{\tilde{n}}$ es un **término de normalización** asociado al tamaño de la caja
- $\alpha_k = D - D_k$ es el **exponente de incertidumbre**
- m_k es el **número de atractores** que comparten la $k -$ esima frontera



Sistemas con retardo temporal

- El retardo temporal es **inherente** a muchos sistemas físicos debido a **velocidades de propagación** y **tiempos de procesamiento finitos**
- Sistemas con retardo temporal pueden exhibir una gran variedad de fenómenos como **bifurcaciones, oscilaciones, caos y multiestabilidad**
- Estos sistemas muchas veces tienen **dimensión infinita** incluso para una única DDE

DDE
$$\begin{cases} \frac{dx}{dt} = f(x, x_\tau, t) \\ x_\tau = x(t - \tau) \end{cases} \longrightarrow x(t) \text{ depende de } x(\theta) \text{ with } \theta \in [t - \tau, t]$$

Doble pozo con delay

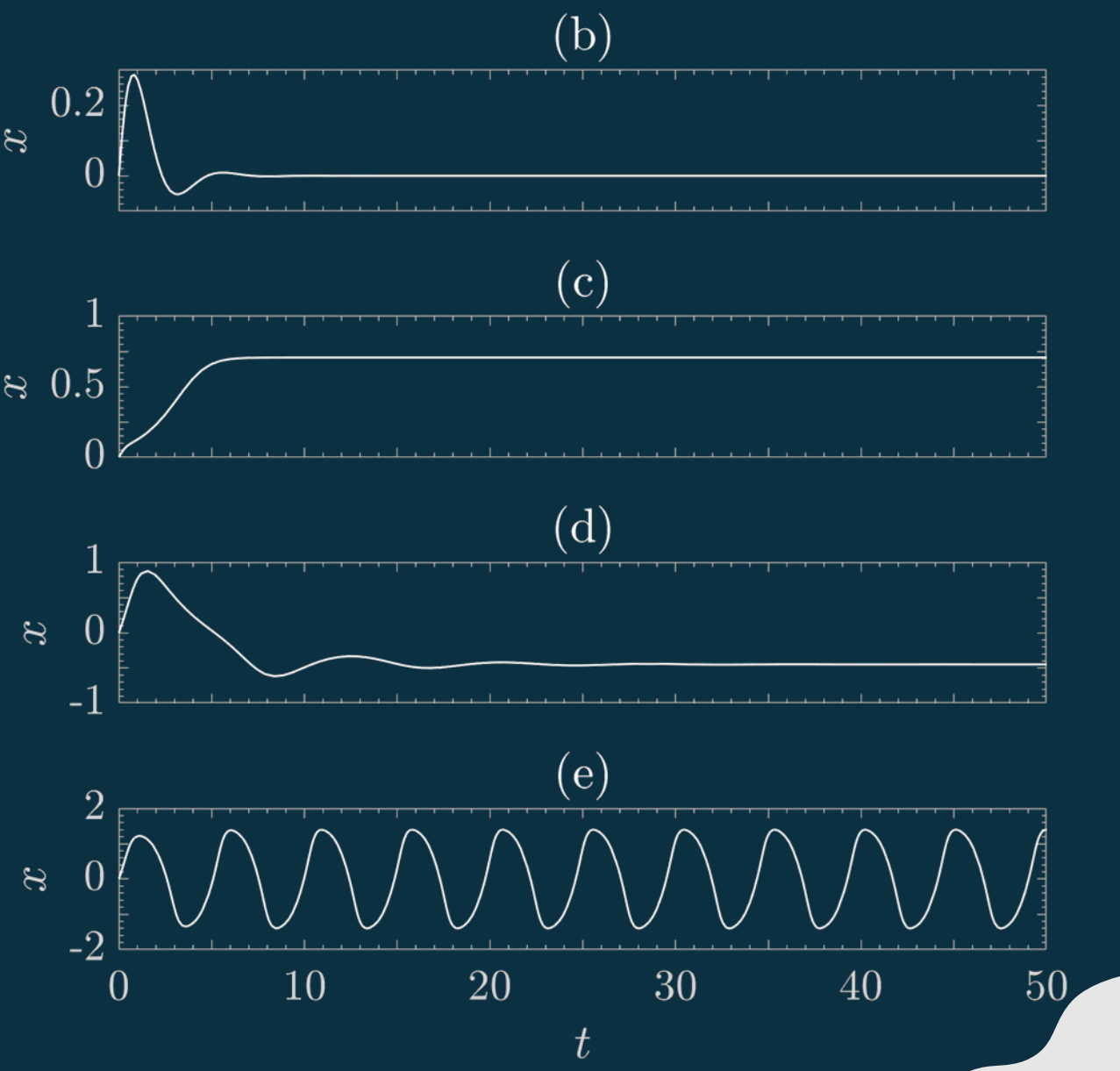
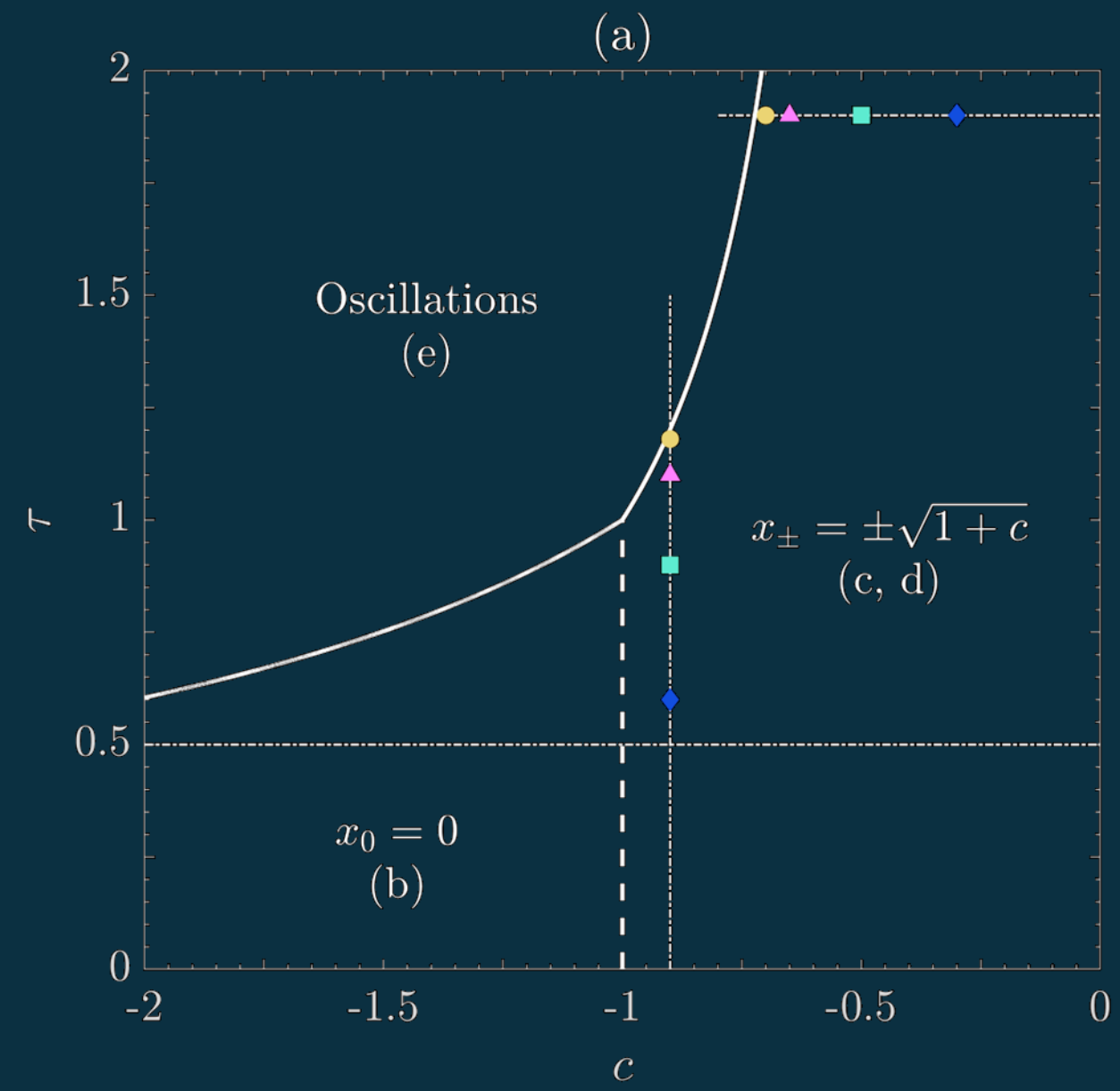
- Un modelo simple para un sistema biestable con delay es: $\rightarrow \boxed{\frac{dx}{dt} = x - x^3 + cx(t - \tau)}$
- Este sistema tiene tres soluciones de punto fijo:

$$x^* = 0 \text{ for } c < -1$$

$$x^* = \pm\sqrt{c+1} \text{ for } c \geq -1$$

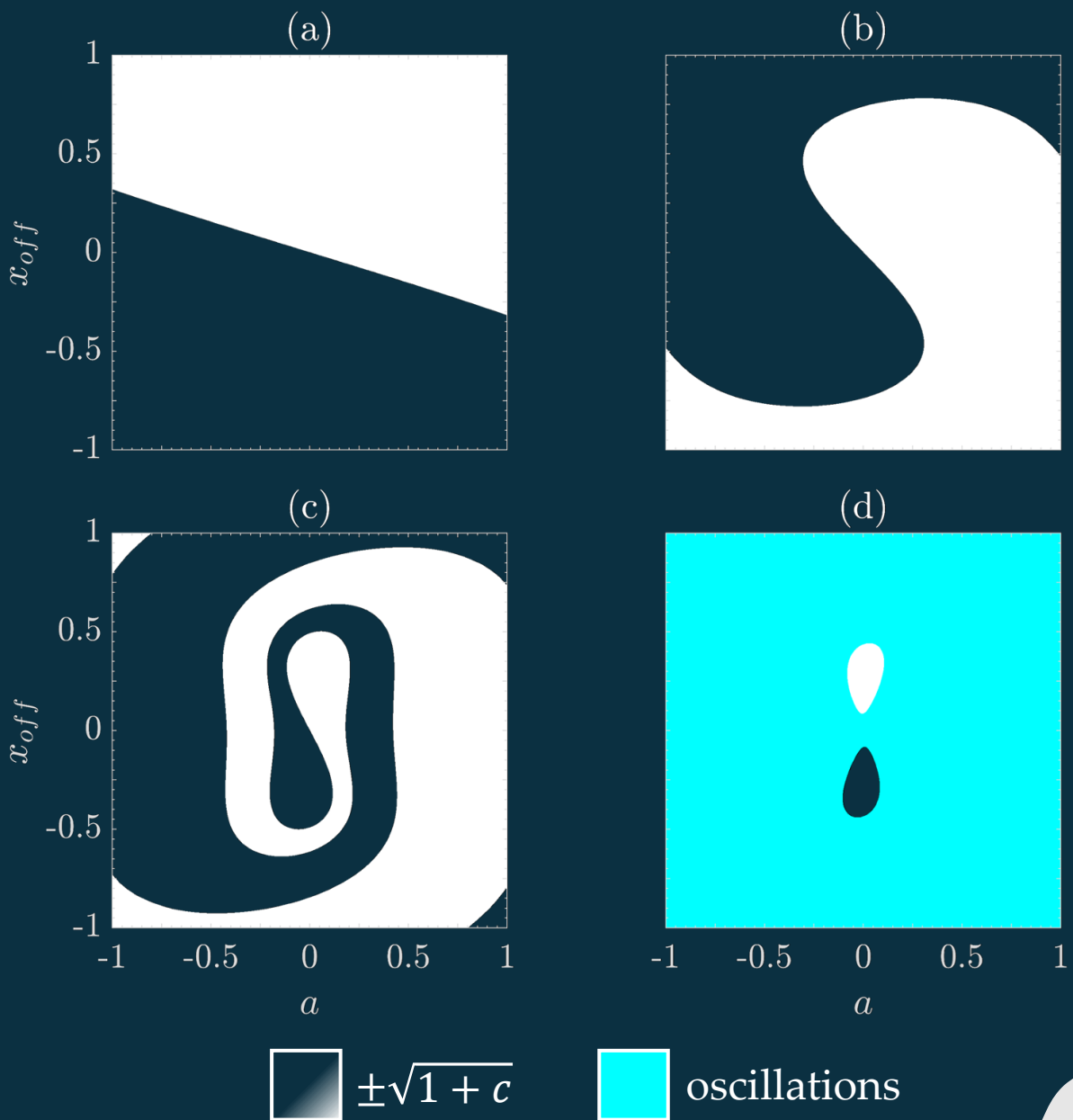
- También presenta comportamiento oscilatorio, la línea de bifurcación de Hopf puede calcularse usando LSA:

$$\left(c = \frac{1}{\cos(s)}, \tau = -\frac{s}{\tan(s)} \right) \boxed{\left(c = -\frac{2}{3 - \cos(s)}, \tau = \frac{s(3 - \cos(s))}{2 \sin(s)} \right)}$$



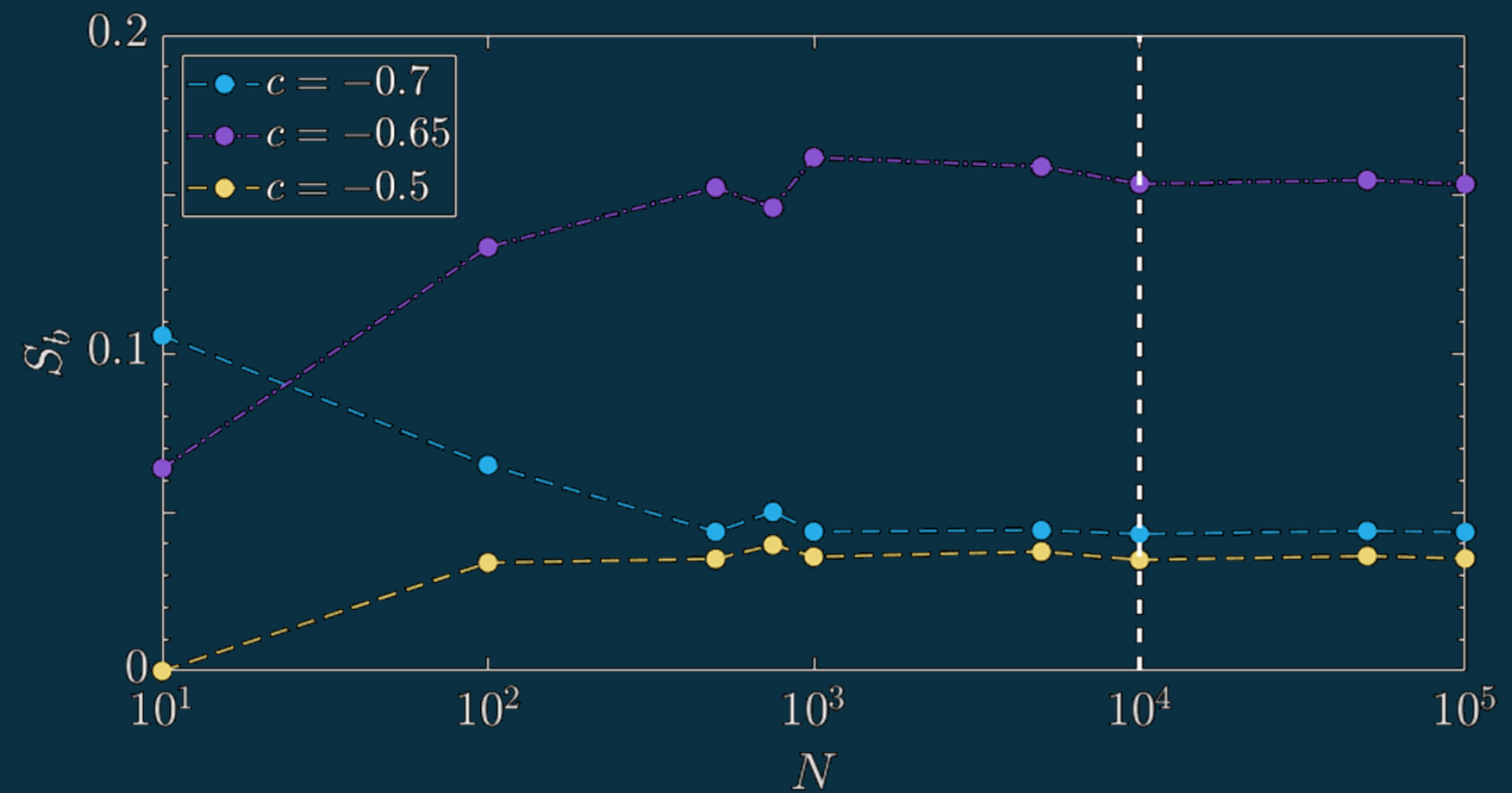
Simulación y condiciones iniciales

- Utilizamos Runge-Kutta de orden 2nd-3rd adaptado a sistemas con delay
- Se descarto un transitorio de 500 a.u. antes de determinar el atractor final
- Una función paramétrica:
$$x_{in} = x_{off} + a \sin(t) \quad \forall t \in [-\tau, 0]$$
utilizamos como condiciones iniciales

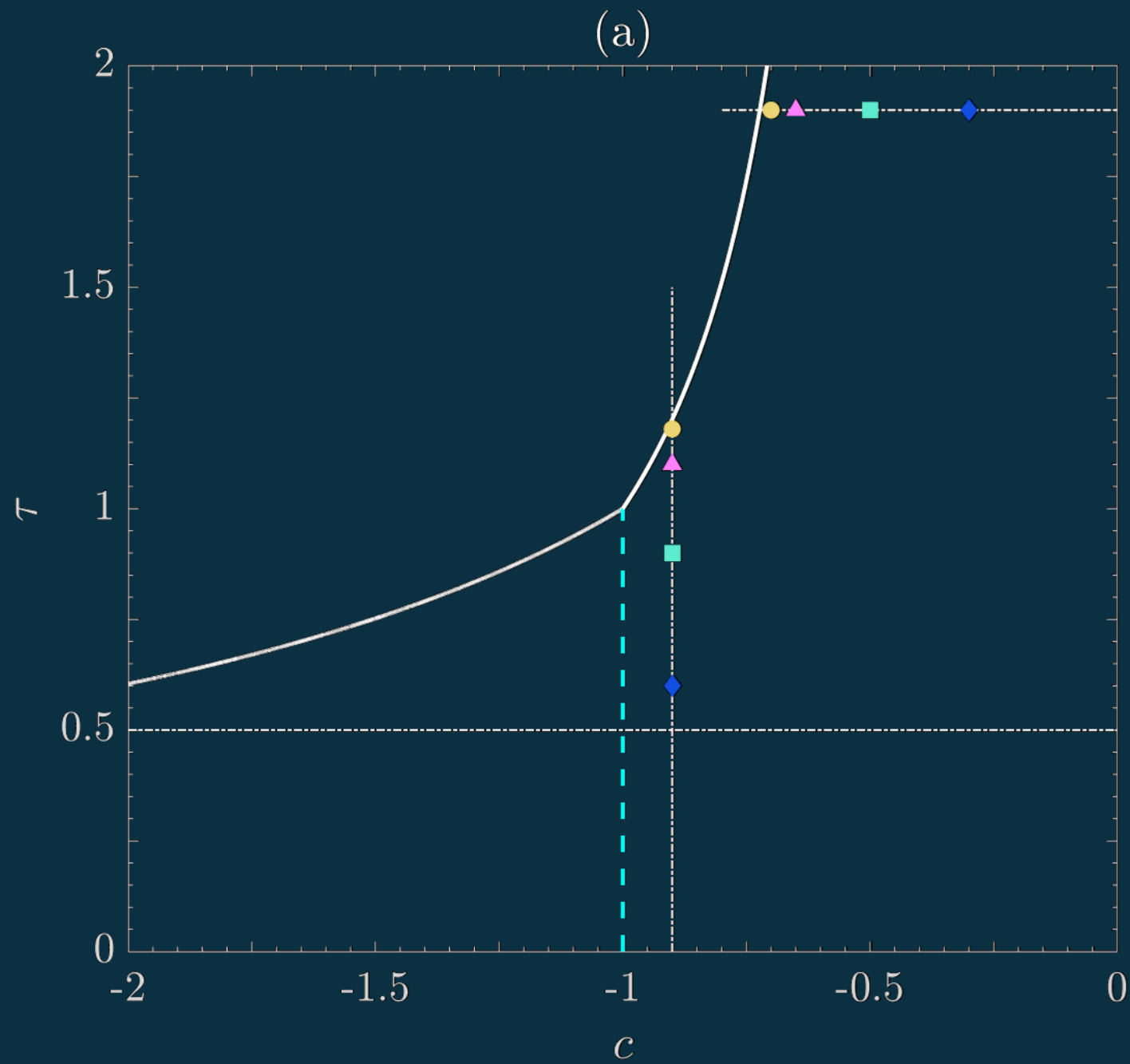


Calculation of basin entropy: role of the number of boxes

- Se tomaron 10^4 trayectorias para cada punto del espacio de parámetros
- Las cajas fueron tomadas de forma aleatoria
- La entropía de cuencas parece converger para 10^4 cajas

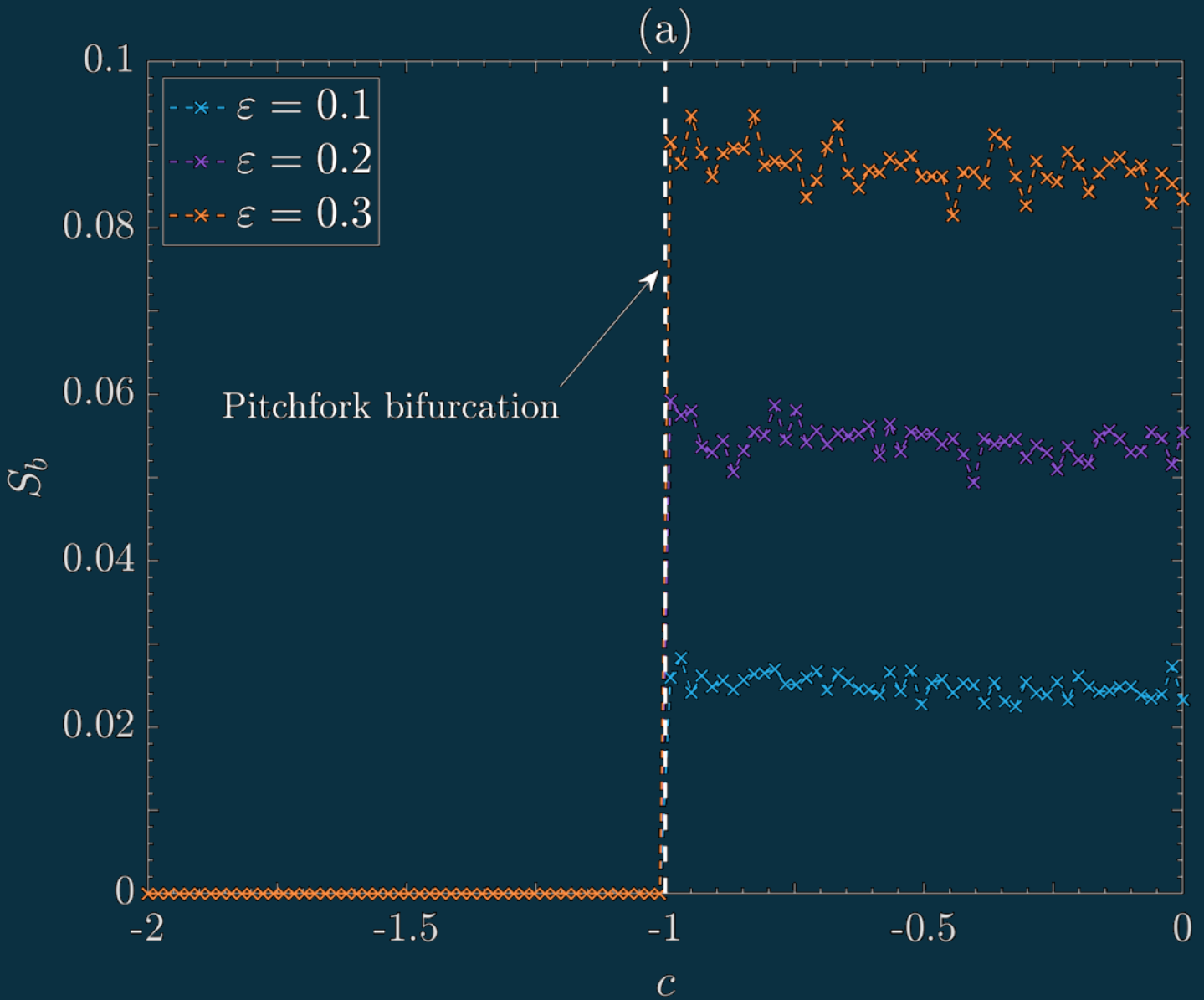


Bifurcación tridente

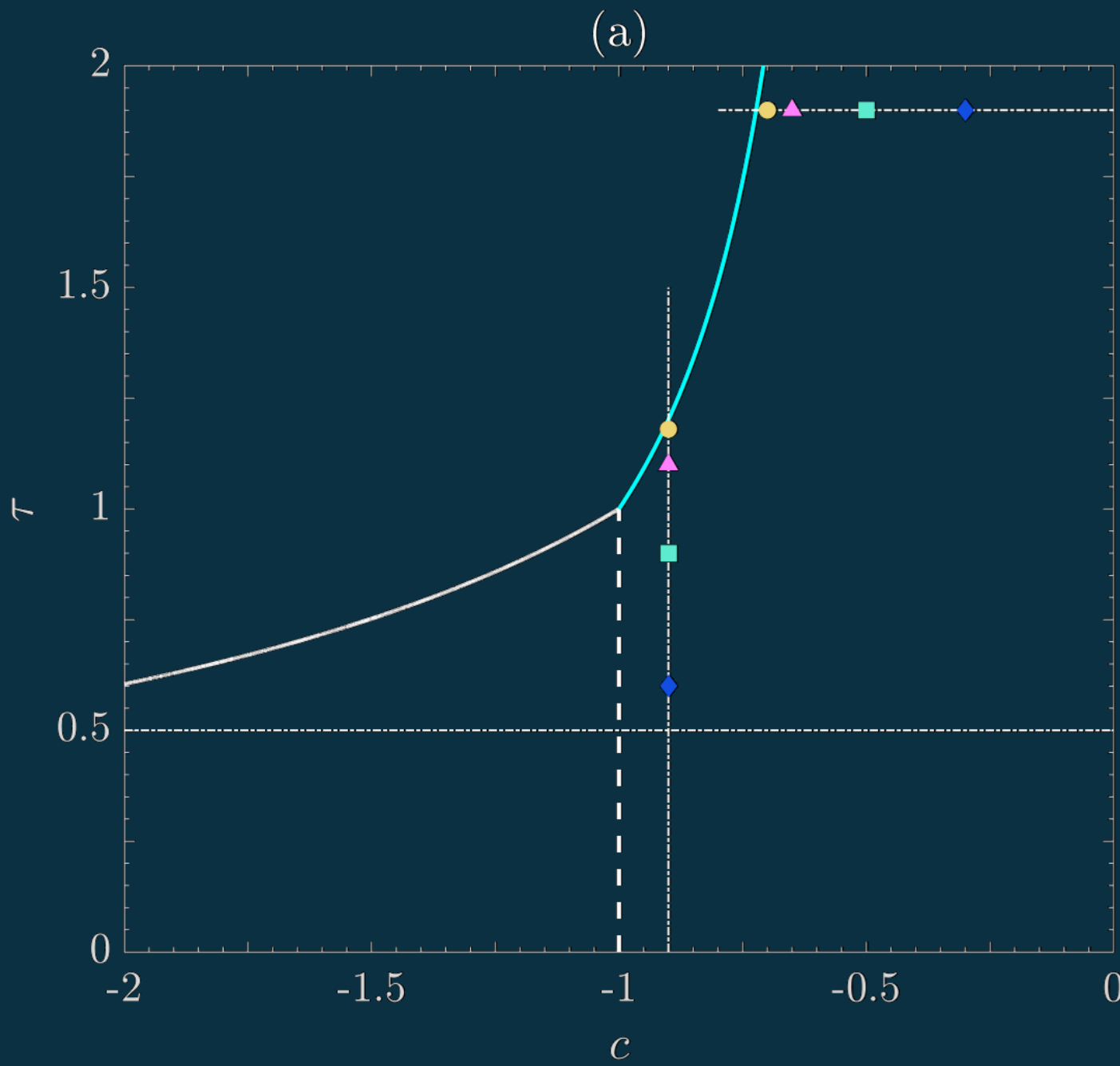


Bifurcación tridente

- Encontramos una bifurcacion tridente para $c = -1$ and $\tau < 1$
- La entropia de cuencas permanecio constante luego de la bifurcacion
- Esto es acorde con trabajos previos en sistemas sin delay

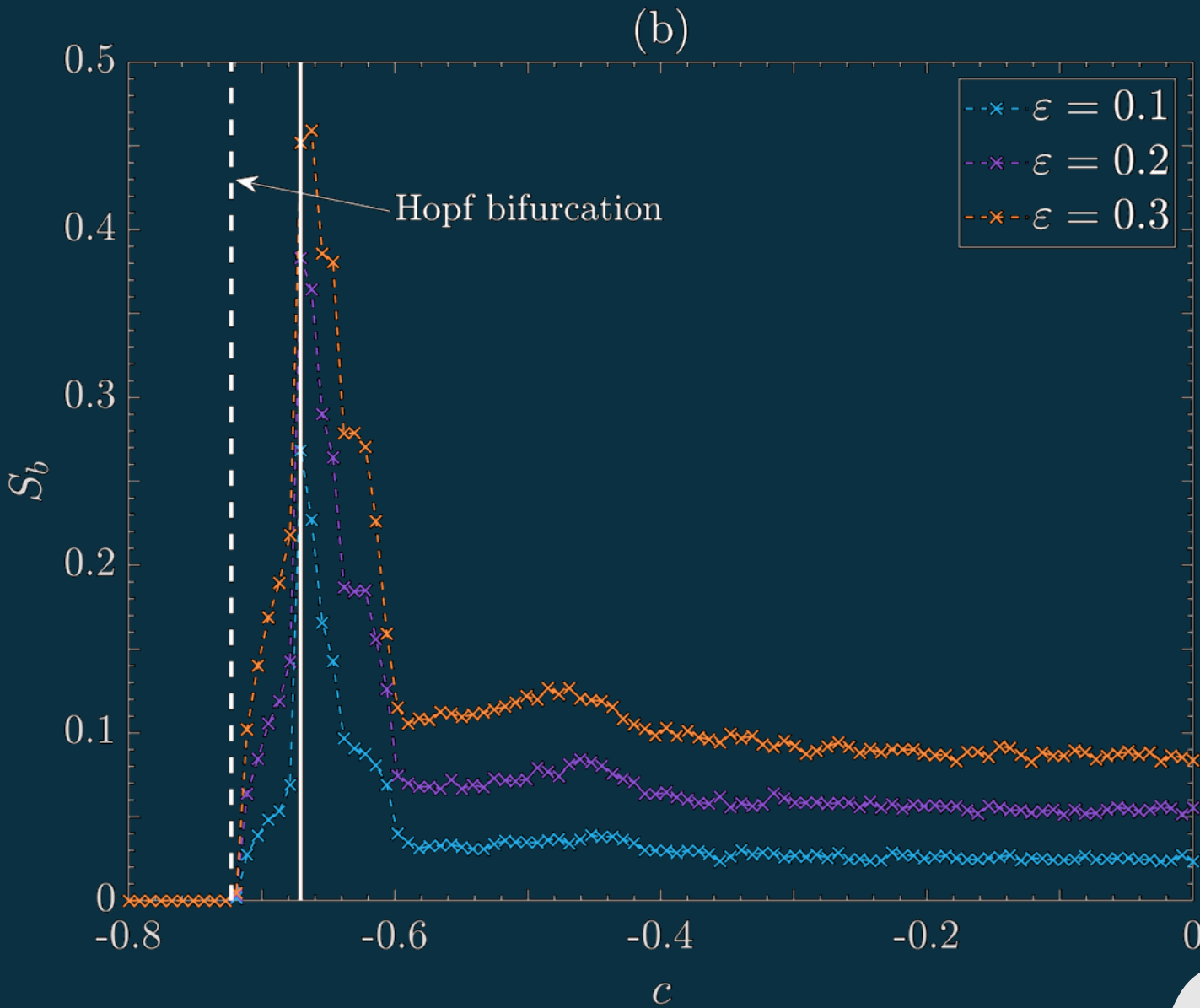


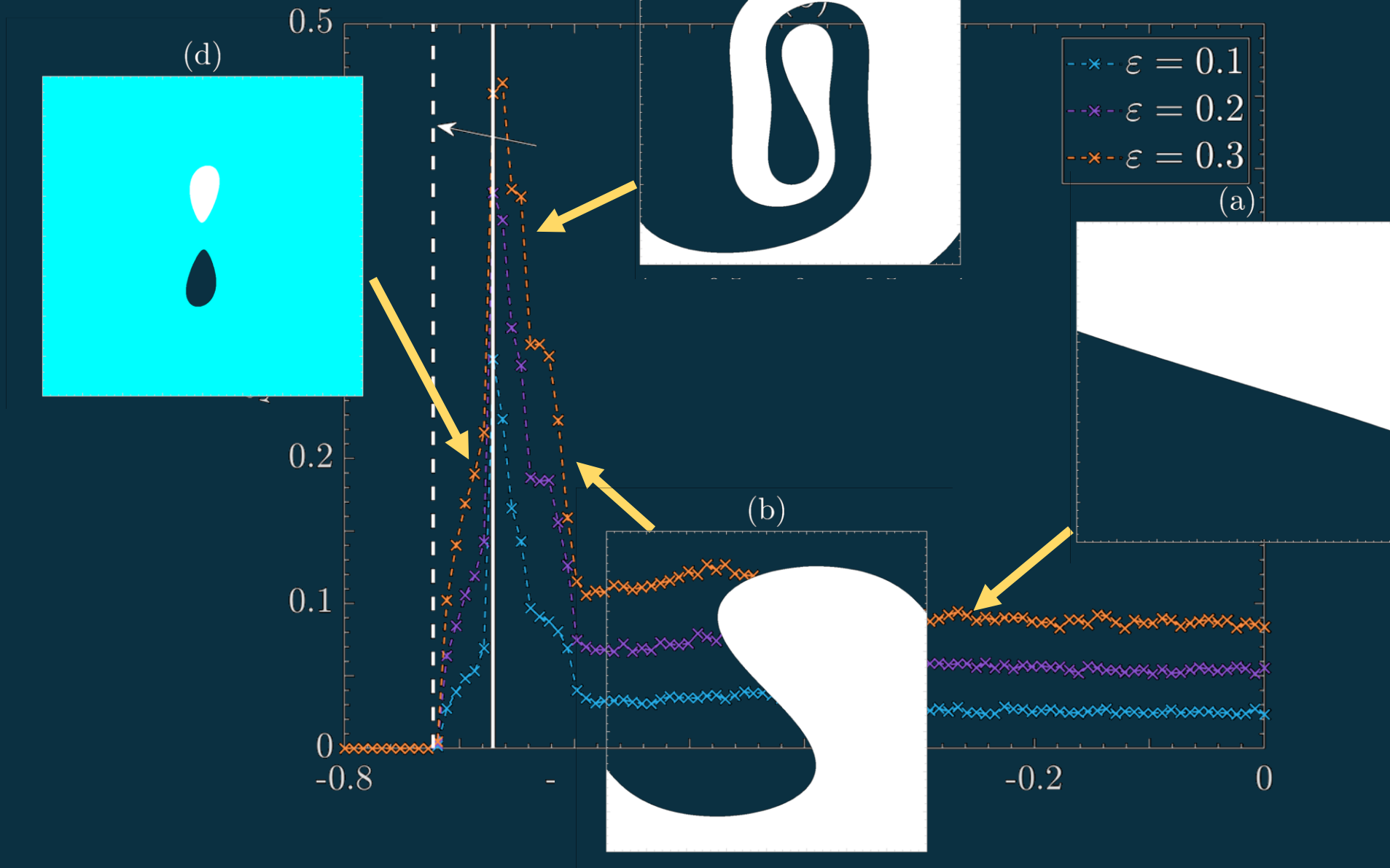
Bifurcación de Hopf



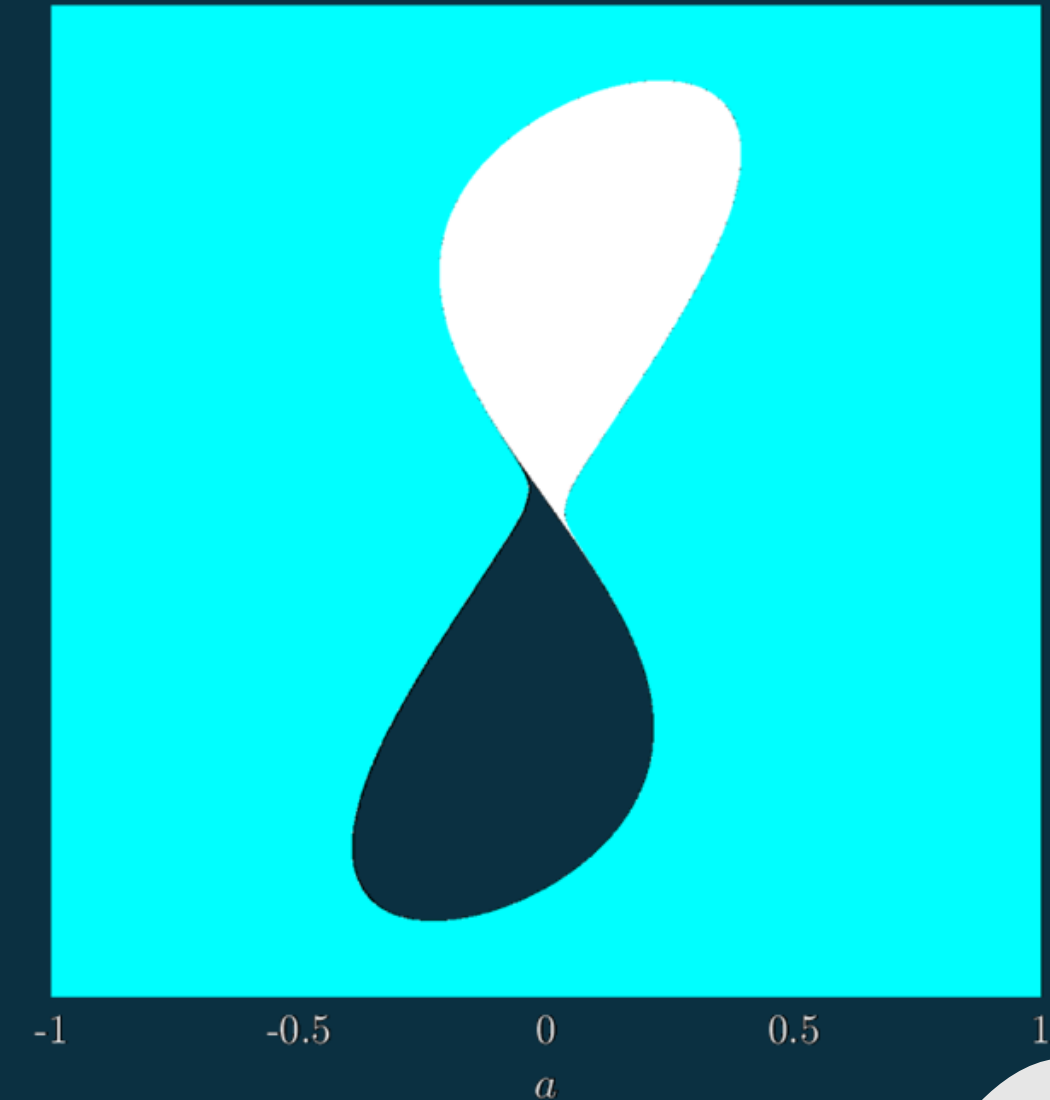
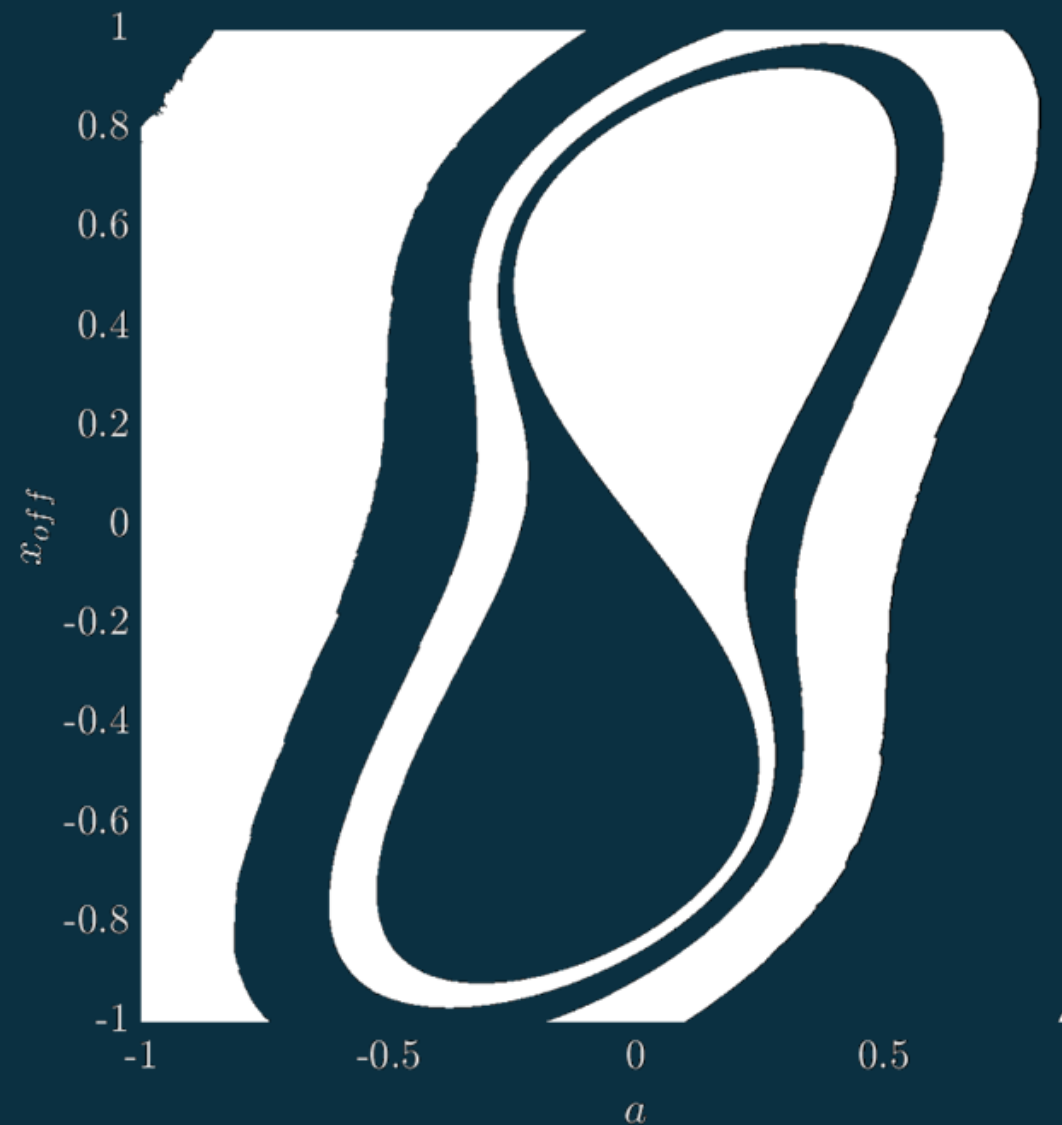
Bifurcación de Hopf

- La bifurcación de Hopf coincide con la hallada mediante LSA
- La entropía de cuencas presenta un comportamiento lineal en el entorno de la bifurcación de Hopf
- Un máximo de entropía aparece cerca de la bifurcación de Hopf indicando una nueva bifurcacion

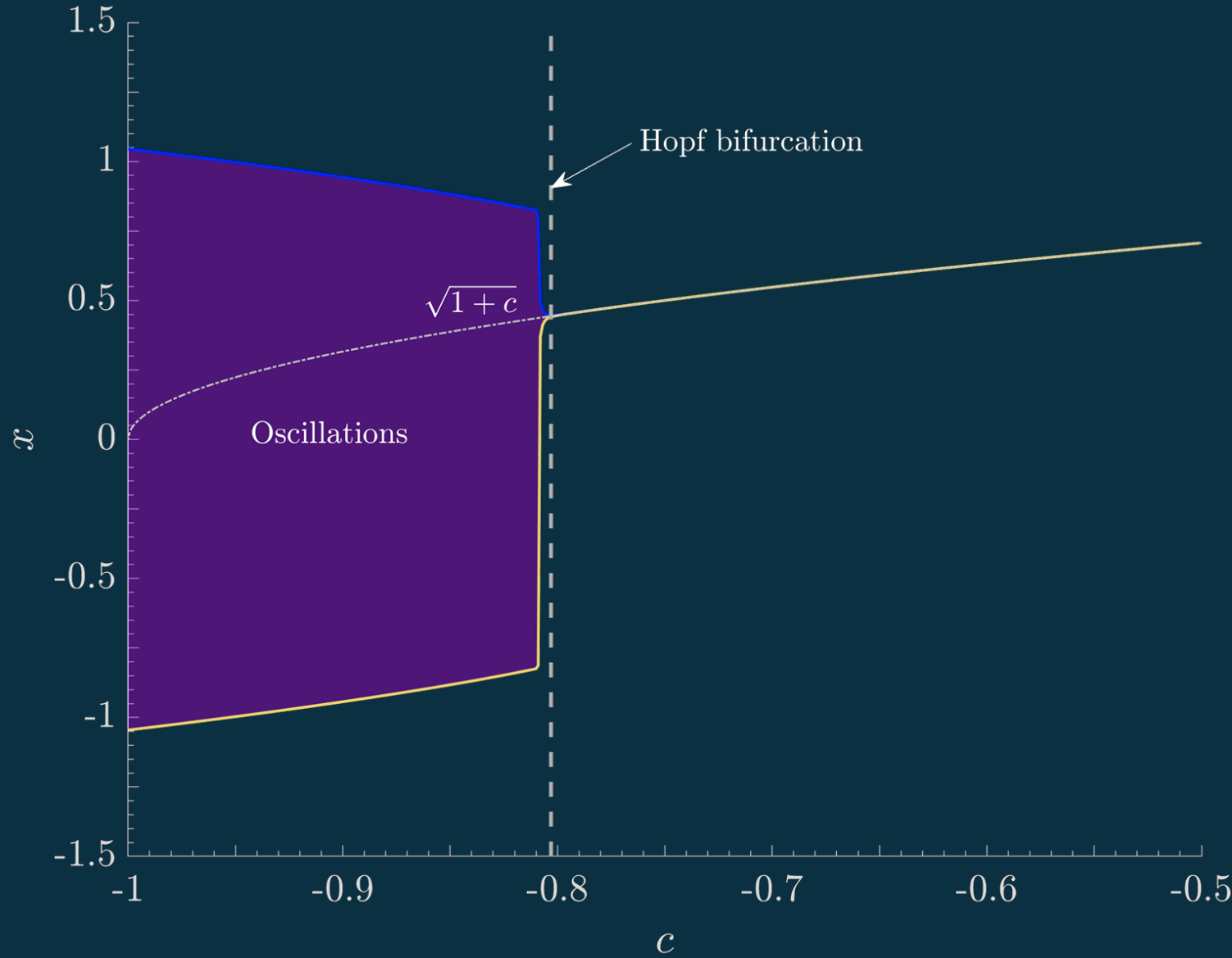




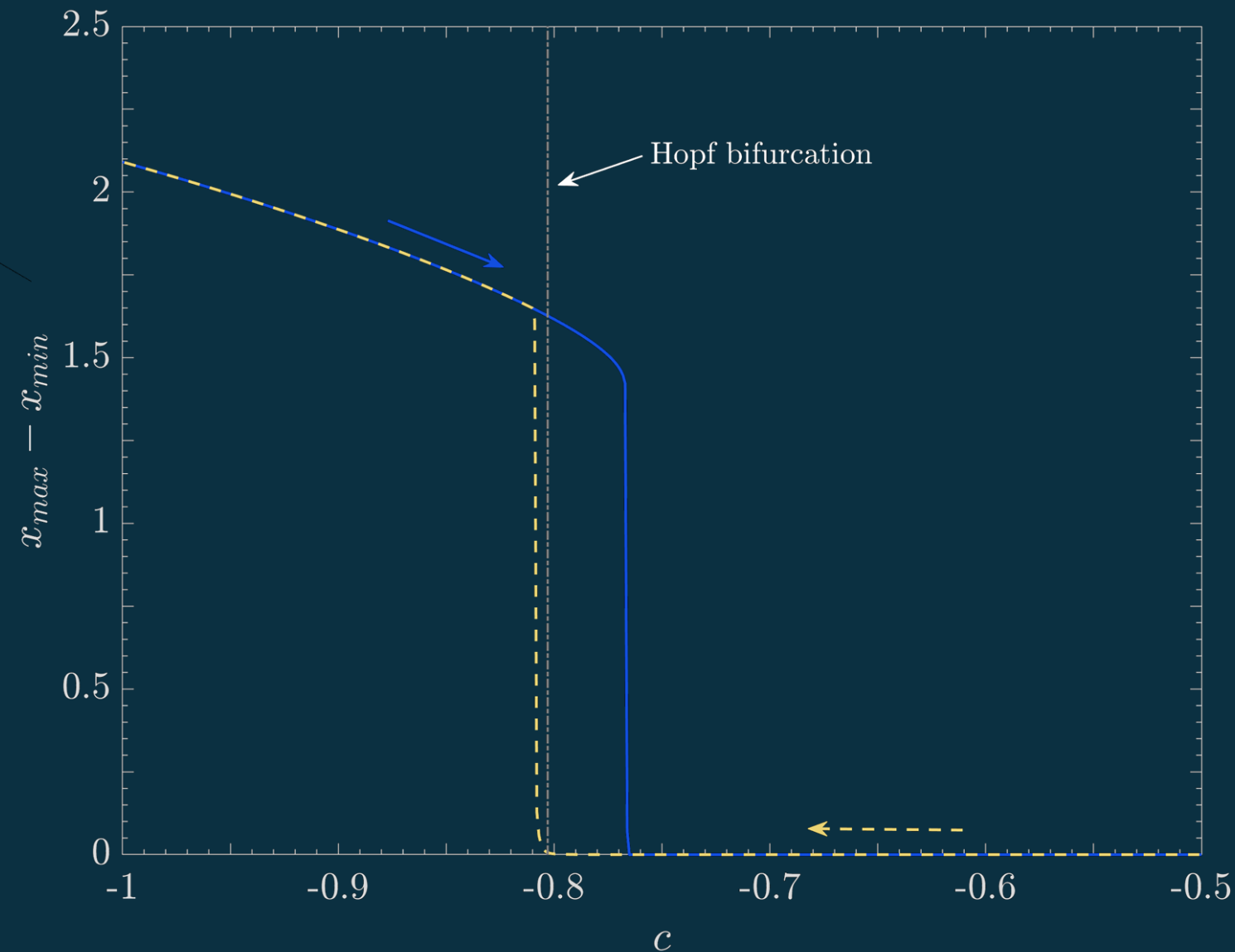
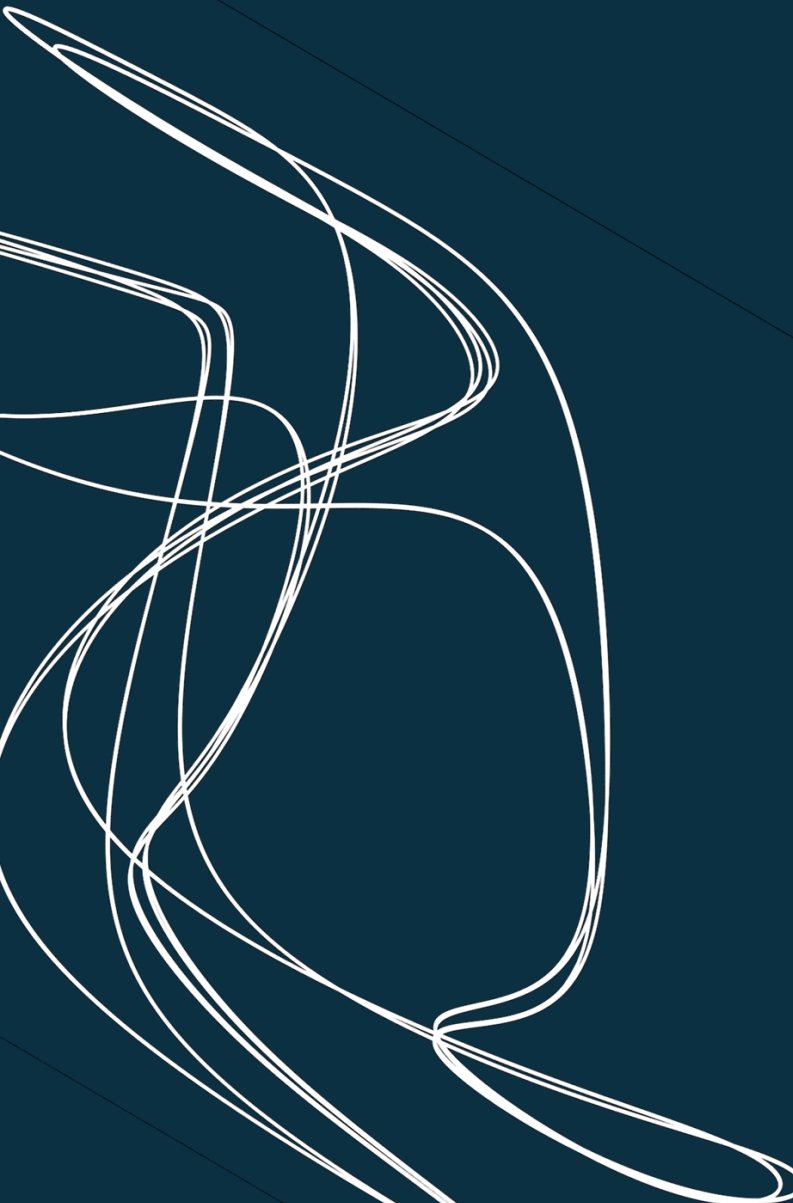
¿Qué pasa en el máximo?



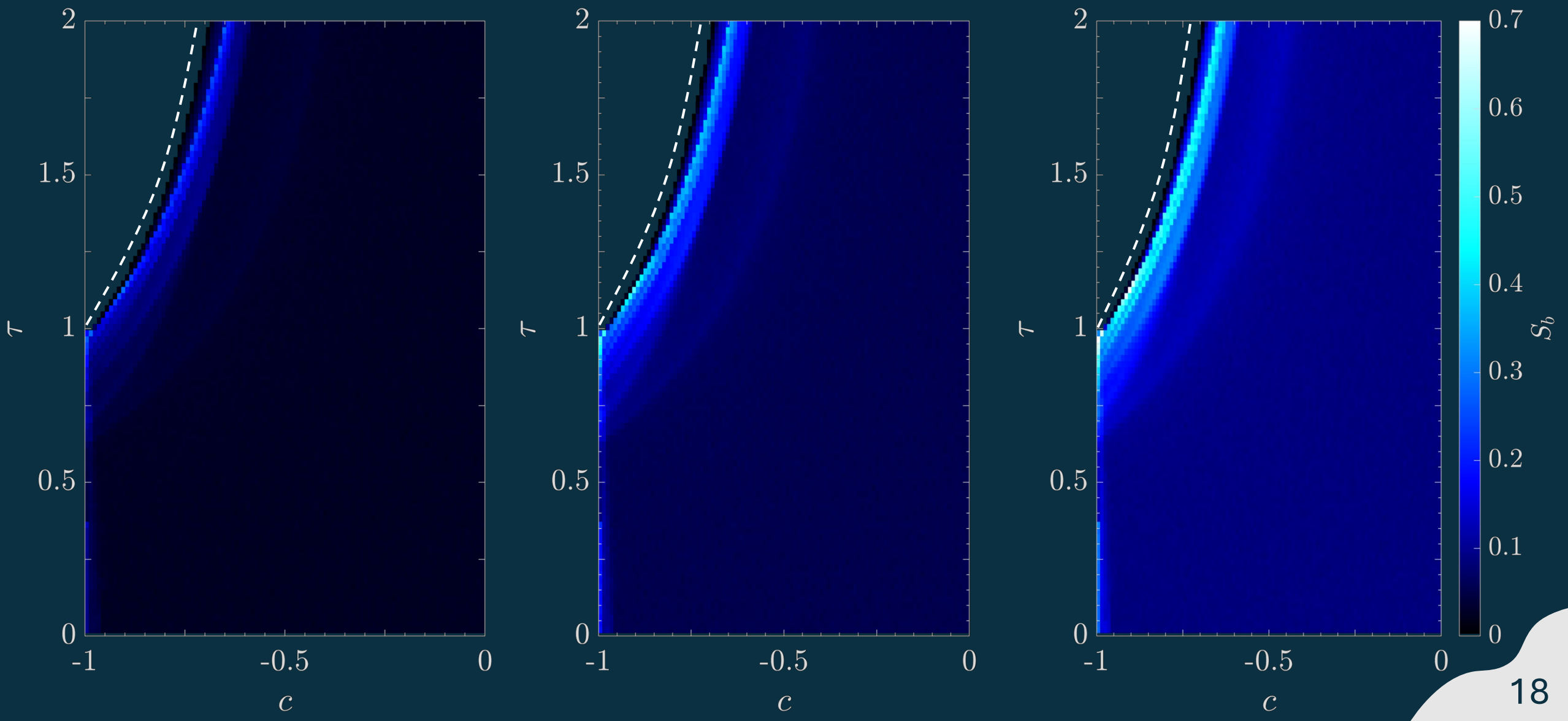
¿Qué pasa en el máximo?



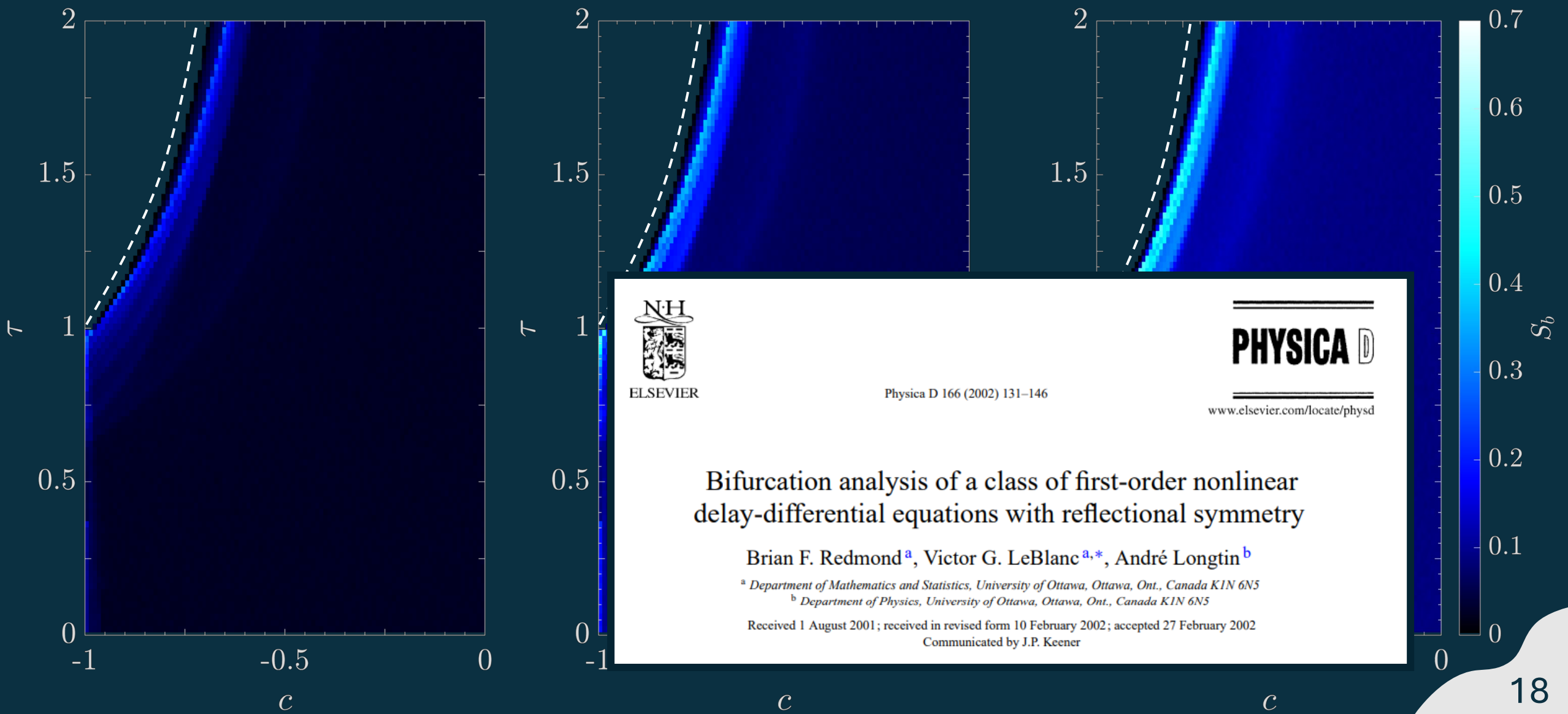
¿Qué pasa en el máximo?



Basin entropy in the parameter space



Basin entropy in the parameter space



Conclusiones

- La entropía de cuencas puede capturar cambios en las cuencas de atracción que ocurren al variar los parámetros del sistema
- Encontramos la bifurcación de Hopf pero no la bifurcación de tridente
- A partir de la entropía de cuencas hallamos indicios de una nueva bifurcación
- Este trabajo fue publicado recientemente →



Trabajo actual

Basin stability



Independencia de las
condiciones iniciales

Basin stability en sistemas con delay

- Es la fracción del volumen que ocupa la cuenca de atracción en el espacio de fase
- Dada una base ortogonal $\{f_1, \dots, f_n, \dots\} \subset C[-\tau, 0]$ existe una secuencia $\{a_1, \dots, a_n, \dots\}$ tal que:

$$x_n^{in} = a_1 f_1 + a_2 f_2 + \dots + a_n f_n \rightarrow x^{in} \text{ cuando } n \rightarrow \infty$$

- Tomando un n finito podemos muestrear de forma aleatoria el espacio de fase

Basin stability en sistemas con delay

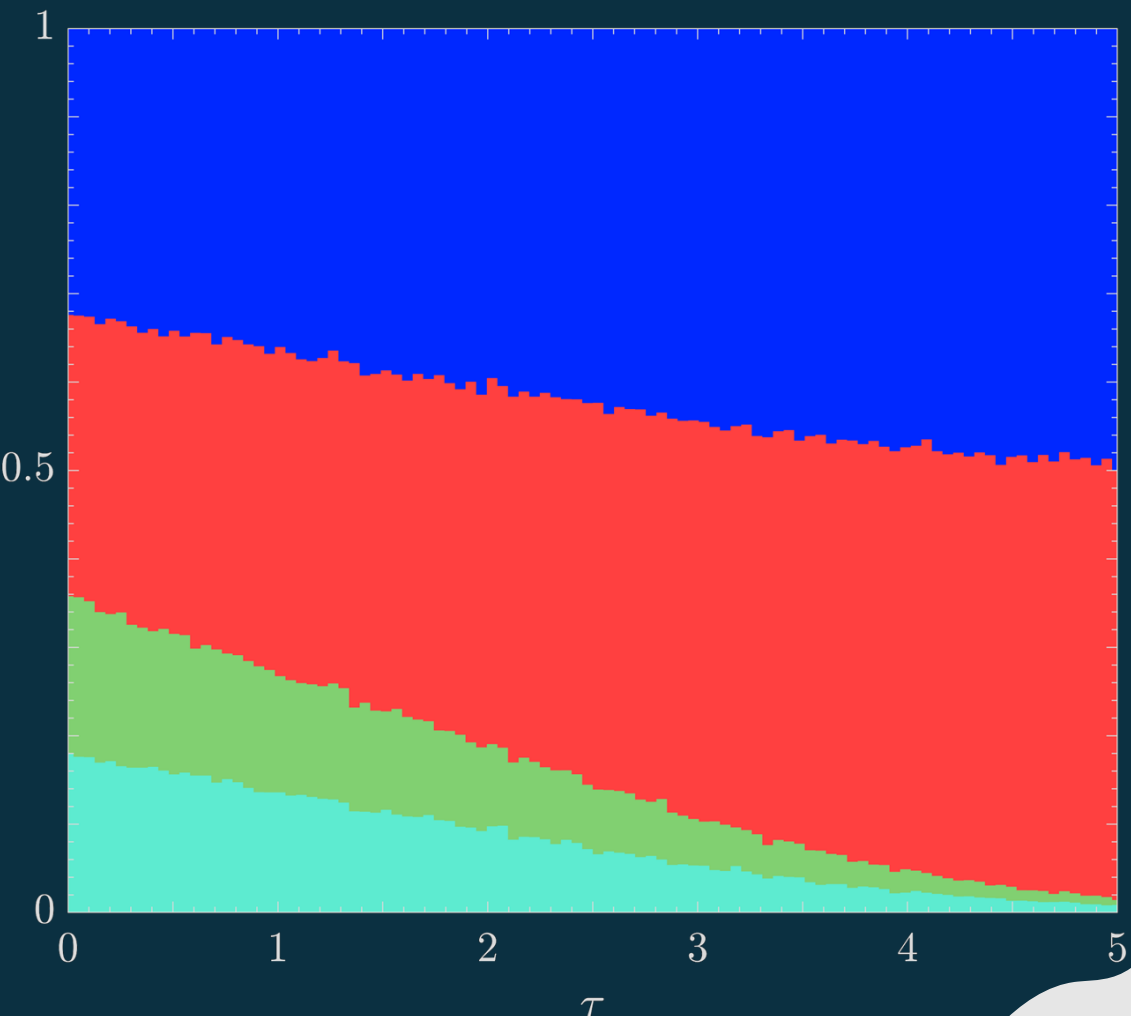
Modelo neuronal de Hopfield con delay

$$\dot{u}_1(t) = -bu_1(t) + af(u_1(t - \tau_s)) + a_{12}f(u_2(t - \tau_{12})) + I_1$$

$$\dot{u}_2(t) = -bu_2(t) + a_{21}f(u_1(t - \tau_{21})) + af(u_2(t - \tau_s)) + I_2$$

Condiciones iniciales:

$$x^{in} = \frac{a_0}{\sqrt{2\pi}} + a_1 \cos(2\pi t) + a_2 \sin(2\pi t) + \dots + a_n \cos(2n\pi t)$$



Independencia de las condiciones iniciales

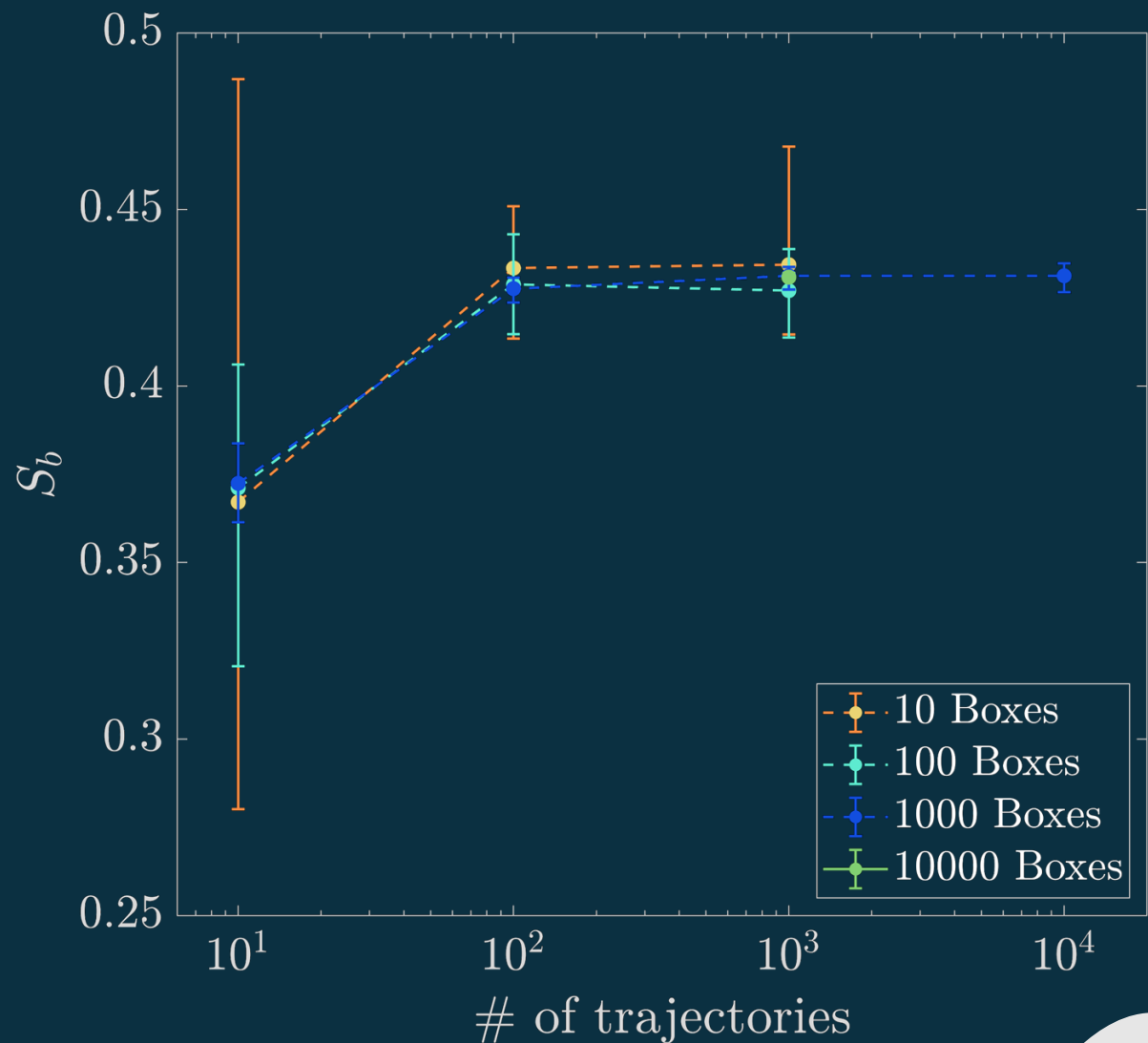
Entropía de cuencas

- Sistema de Mackey-Glass:

$$\begin{cases} x_i = x_{i+1}, i = 1, 2, \dots, N-1 \\ x_N = x_{N-1} e^{-\frac{\Gamma}{N}} + (1 - e^{-\frac{\Gamma}{N}}) \alpha \frac{x_1}{1+x_1^n} \end{cases}$$

- $N = 396$

- Tomamos 1000 trayectorias en 100 cajas



Independencia de las condiciones iniciales

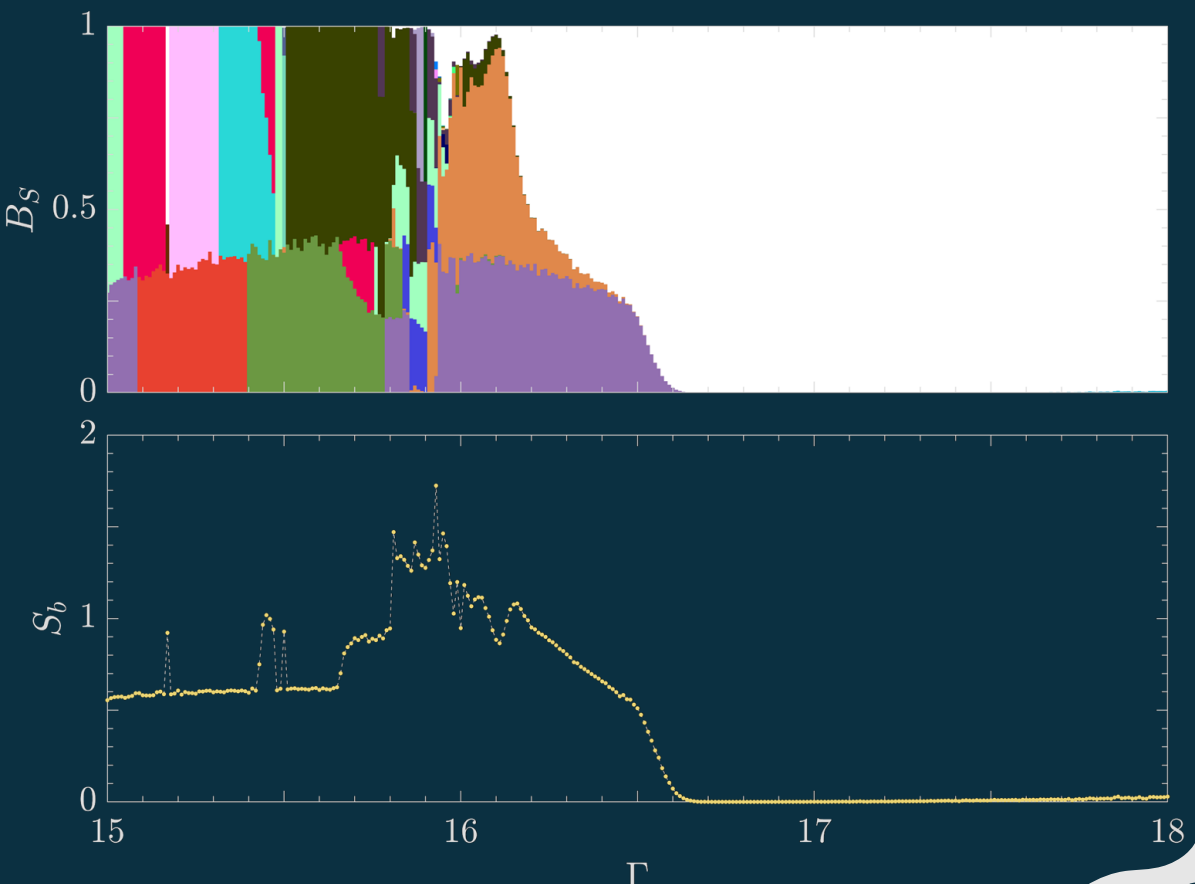
Entropía de cuencas

- Sistema de Mackey-Glass:

$$\begin{cases} x_i = x_{i+1}, i = 1, 2, \dots, N-1 \\ x_N = x_{N-1} e^{-\frac{\Gamma}{N}} + (1 - e^{-\frac{\Gamma}{N}}) \alpha \frac{x_1}{1+x_1^n} \end{cases}$$

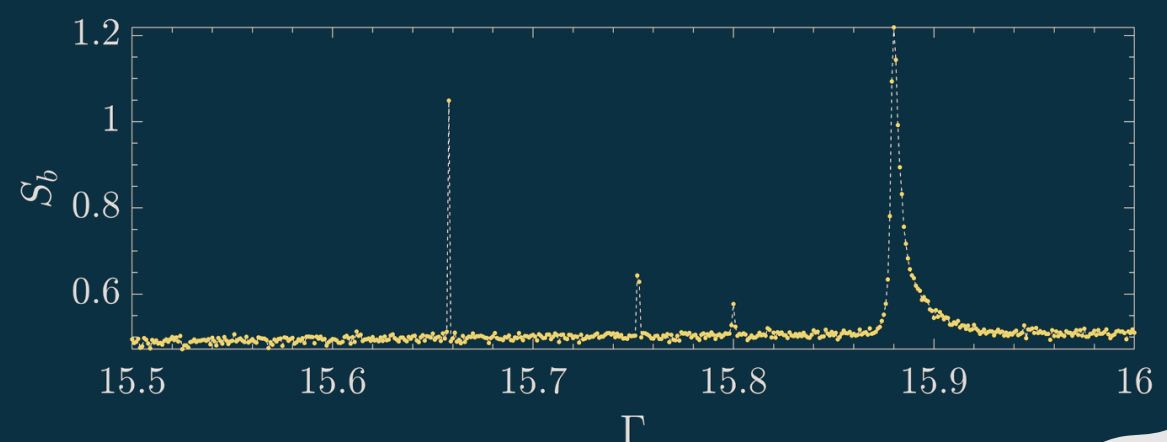
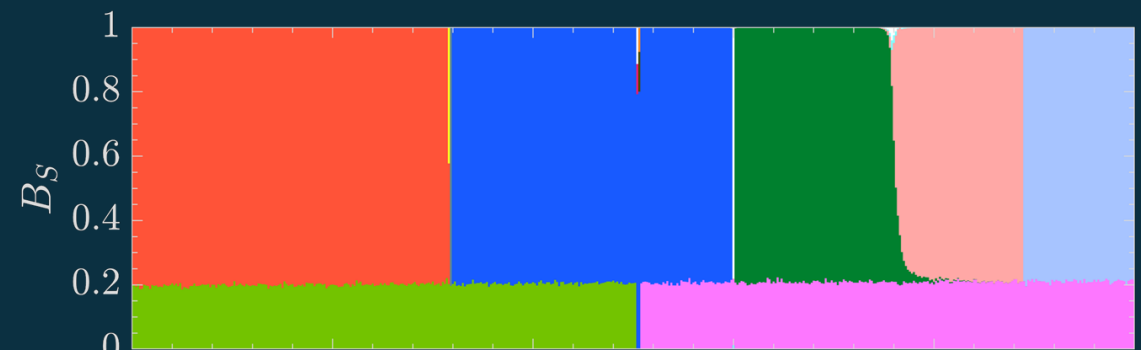
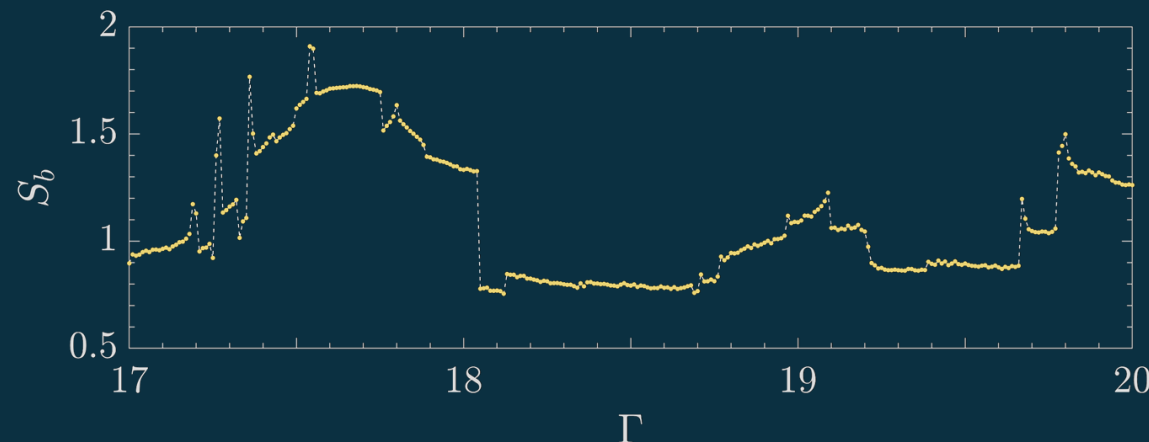
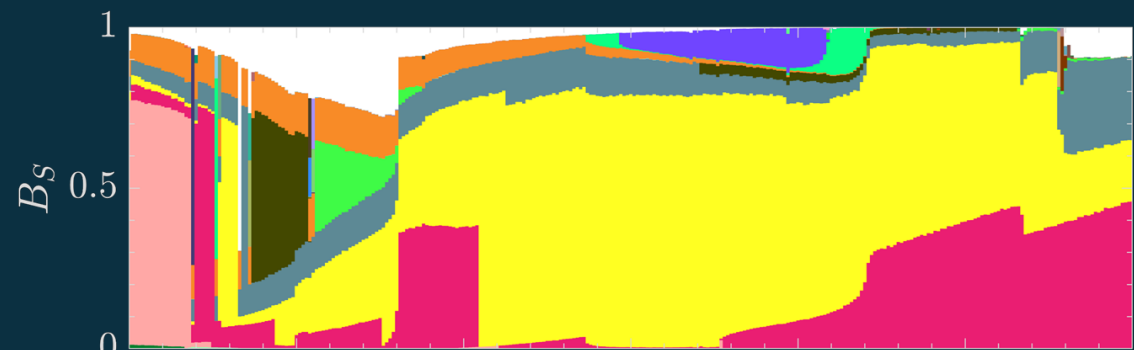
- $N = 396$

- Tomamos 1000 trayectorias en 100 cajas



Independencia de las condiciones iniciales

Entropía de cuencas



iGracias!

¡Gracias!

RESEARCH ARTICLE | MAY 02 2024

Basin entropy as an indicator of a bifurcation in a time-delayed system

Special Collection: Data-Driven Models and Analysis of Complex Systems

Juan P. Tarigo  ; Cecilia Stari  ; Cristina Masoller  ; Arturo C. Martí  

 Check for updates

Chaos 34, 053113 (2024)

<https://doi.org/10.1063/5.0201932>